



(12)

CERERE DE BREVET DE INVENȚIE

(21) Nr. cerere: **a 2020 00641**

(22) Data de depozit: **14/10/2020**

(41) Data publicării cererii:
29/04/2022 BOPI nr. **4/2022**

(71) Solicitant:
• INSTITUTUL NAȚIONAL DE
CERCETARE-DEZVOLTARE
CHIMICO-FARMACEUTICĂ - ICCF
BUCUREȘTI, CALEA VITAN NR.112,
SECTOR 3, BUCUREȘTI, B, RO

(72) Inventatori:
• PINTILIE LUCIA, INTRAREA VORONEȚ
NR.14, BL.D 8, SC.3, ET.1, AP.36,
SECTOR 3, BUCUREȘTI, B, RO;
• TANASE CONSTANTIN,
ȘOS. ALEXANDRIEI NR.11, BL.C-11, SC.E,
ET.2, AP.69, SECTOR 5, BUCUREȘTI, B,
RO

(54) **DERIVAȚI DE 6-METILCHINOLONE INHIBITORI DUALI
AI ADN GIRAZA ȘI TOPOIZOMERAZA IV ȘI INHIBITORI
DE INTEGRAZA**

(57) Rezumat:

Invenția se referă la derivați cu structură chinolonică cu activitate antimicrobiană utilizati în tratamentul infecțiilor cauzate de microorganisme gram- pozitive și gram-negative. Derivați 6-metil-chinoloni, conform invenției, sunt aleși dintre acidul 1-etyl-6-metil-7-morfolinil-1,4-dihidro-4-oxo-chinolin-3-carboxilic și acidul 1-etyl-6-

metil-7-(3- metil-piperazinil)-1,4-dihidro-4-oxo-chinolin-3-carboxilic ca inhibitori duali ai ADN giraza și Topoizomeraza IV și inhibitori de integrază.

Revendicări: 3

Cu începere de la data publicării cererii de brevet, cererea asigură, în mod provizoriu, solicitantului, protecția conferită potrivit dispozițiilor art.32 din Legea nr.64/1991, cu excepția cazurilor în care cererea de brevet de inventie a fost respinsă, retrasă sau considerată ca fiind retrasă. Întinderea protecției conferite de cererea de brevet de inventie este determinată de revendicările conținute în cererea publicată în conformitate cu art.23 alin.(1) - (3).



39

OFICIAL DE STAT PENTRU INVENTII SI MARCII	
Cerere de brevet de inventie	
Nr. 20200641	
Data depozit 14-10-2020	

Derivati de 6-metilchinolone inhibitori duali ai ADN giraza si Topoizomeraza IV si inhibitori de integraza

Inventia se refera la identificarea prin proiectare si simulare “*in silico*” a unor derivati cu structura chinolonica, poteniali inhibitori duali ai ADN giraza si Topoizomeraza IV si inhibitori de integraza si procedeu de preparare al lor.

Inhibitorii de ADN Giraza reprezinta o importanta clasa de medicamente antibacteriene cu spectru larg de actiune. Structura de baza a acestor medicamente (Figura 1) este o structura biciclica, ce contine un inel A de tip 4-piridinona combinat cu un inel aromatic sau heteroaromatic B. Inelul A de tip 4-piridinona este un inel cu necesitatea absoluta: a unei nesaturari in pozitia 2-3, a unei functii acide libere in pozitia 3, a unui substituent la azotul din pozitia 1.

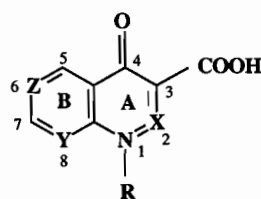


Fig. 1 Structura de baza a chinolonelor

Mecanismul de actiune se bazeaza pe inhibarea topoizomerazei prokariotice de tip II, denumita ADN giraza si in cateva cazuri a topoizomerazei IV. Chinolona reactioneaza direct cu cromozomul bacterian, astfel inhibarea enzimei fiind urmata de interactiunea cu ADN-ul bacterian.

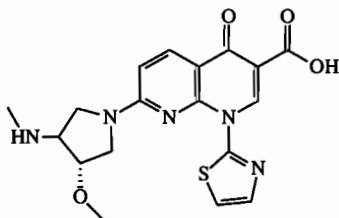
Prin modificari structurale efectuate pe nucleul chinolinic, in pozitiile 1,2, 3, 6, 7 si 8, au fost obtinute noi structuri, care, pe langa proprietatile antibacteriene poseda si proprietati antitumorale si/sau antivirale.

In practica medicala sunt utilizati un numar mare de agenti antimicrobieni cu structura chinolonica, unii dintre ei fiind considerati de specialistii farmacologi ca medicamente de prima necesitate in terapia antiinfectioasa umana si veterinara. Chinolonele prezinta un spectru larg si o activitate antibacteriana puternica. Ele se caracterizeaza printr-o farmacocinetica ce permite utilizarea lor in toate infectiile localizate.

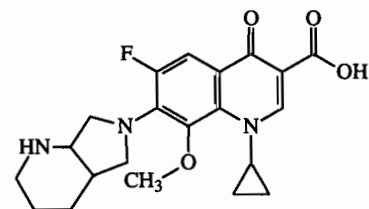
In ultimul timp, studiile farmacologice au dovedit ca chinolonele poseda si alte activitati biologice: activitate antitumorală (ex. Voreloxin: primul derivat din clasa chinolonelor cu activitate anticanceroasa), activitate antimicobacteriana (Ex. Moxifloxacina), activitate antivirala pe virusul



herpes, in inhibarea bolilor neurovegetative si a infectiilor ischemice si in stocarea produselor alimentare (datorita proprietatilor bactericide).

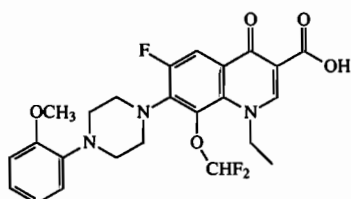


Voreloxin
Clin Cancer Res; 16(7) Apr. 1, 2010

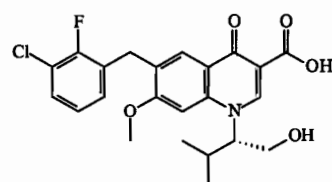


Moxifloxacin
Bioorg. Med. Chem., 27(14), 2019

In ultimii 30 de ani, numerosi compusi cu structura chinolonica au fost evaluati pentru activitatea anti HIV. Unul dintre acestei compusi este chinolona K-12 care inhiba replicarea virusului imunodeficientei umane la etapa de transcriptie. Elvitegravir este primul inhibitor de integraza utilizat in tratamentul infectiei cu HIV aprobat de U.S. Food and Drug Administration.



K-12
Antiviral Chem. Chemother., 9(5), 1998



Elvitegravir
Arch. Pharm. Chem. Life. Sci., 352(9), 2019

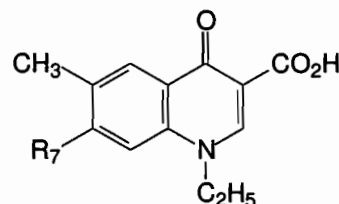
Chinolonele, considerate "privileged building blocks", obtinute prin metode simple si flexibile de sinteza, permit dezvoltarea de biblioteci mari de molecule bioactive. Cercetarile pentru obtinerea unui nou medicament cu structura chinolonica, continua in multe laboratoare din intrega lume.

Un parametru important in procesul de dezvoltare a unui nou medicament, este si afinitatea medicamentului fata de tinta identificata (proteina/enzima). Predictia modului de legare a ligandului la tinta (proteina/enzima), prin simulare moleculara ar permite restrangerea sintezei la compusii cei mai promitatori.

Prezenta inventie largeste gama derivatilor derivati cu structura chinolonica inhibitori duali ai ADN giraza si Topoizomeraza IV cu noi compusi care corespund formulei generale I:



37



I

in care R₇ este morfolinil, 3-methyl-piperazinil.

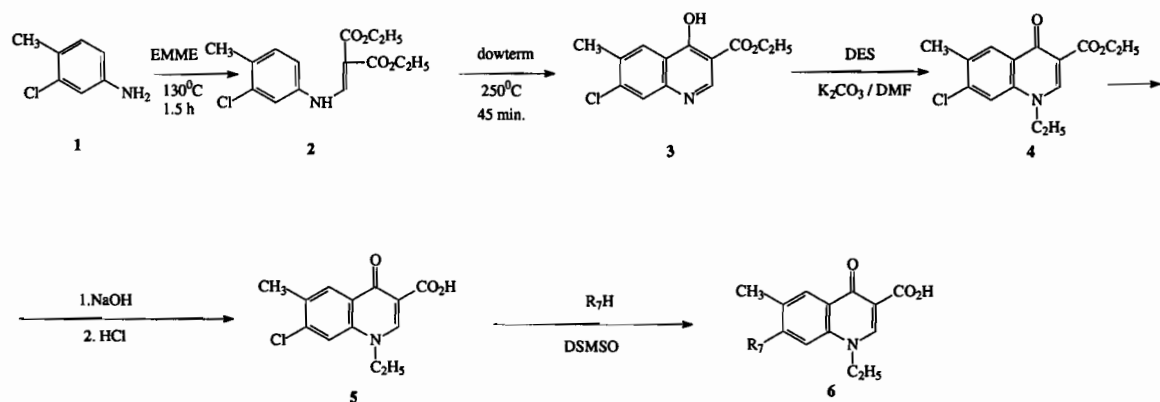
Structurile compusilor au fost proiectate utilizand Spartan Wavefunction, Inc. Irvine CA USA. Pentru fiecare compus a fost generata structura 3D modelul CPK, s-a optimizat geometria prin minimizarea energiei, in vederea obtinerii conformerului cel mai stabil, de energie minimă. Au fost calculati descriptorii moleculari și proprietăți moleculare: masa, energia, energia de solvatare, energia orbitalilor de frontieră, aria, volumul, suprafața polară totală (TPSA), ovalitatea, coeficientul de partaj apă-octanol (logP), polarizabilitatea, mometul de dipol.

Studiile de andocare moleculara ale compusilor proiectati se realizeaza cu CLC Drug Discovery Workbench pentru a identifica si a vizualiza modul de interactiune ligand-receptor. Au fost studiate interactiunile compusilor proiectati cu o serie de receptori extrasi din Protein Data Bank:

- *S. aureus* - DNA gyrase, PDB ID: 4P8O;
- *Mycobacterium tuberculosis* DNA gyrase, PDB ID:3M4I;
- Human Topo IIa ATPase/AMP-PNP, PDB ID:1ZXM;
- HIV-1 Reverse Transcriptase (RT), PDB ID:2ZD1.

Derivatii de 6-metil-chinolone se prepara prin sinteza prin metoda descisa in Schema de Reactie Nr.1.

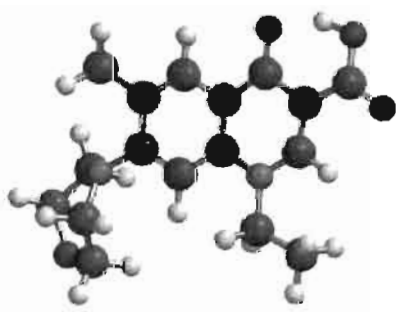
Schema de reactii Nr.1



6-Metil-chinolonele se obtin prin sinteza chimica, prin metoda Gould-Jacobs, metoda ce consta in reactia dintre o anilina nesubstituuta la atomul de azot (1) si etoximetilen malonatul de etil (EMME) (Schema Nr.1). Anilinometilen malonatul de etil (2) format, este supus unui proces de incalzire pentru a induce cicлизarea Gould-Jacobs, conducand astfel la obtinerea esterului etilic al acidului 4-hidroxi-chinolin-3-carboxilic (3). Urmatoarea operatie este aceea de alchilare la azotul din pozitia 1, alchilare ce se realizeaza cu dialchilsulfati, obtinandu-se astfel chinolin-3-carboxilatul (4). Operatia finala pentru a produce compusul cheie (5) in sinteza derivatilor de acizi chinolin-3-carboxilici, este hidroliza bazica, operatie in urma careia se genereaza gruparea carboxilica libera, grupare ce confera activitate biologica compusului chinolonic. Printr-o reactie de substitutie regiospecifica se realizeaza inlocuirea clorului din pozitia 7 a nucleului chinolinic cu un heterociclu, obtinandu-se astfel compusii cu structura chinolonica (6).

Exemplul 1: Proiectarea compusilor ce corespund Formulei generale I

Utilizand Spartan Wavefunction, Inc. Irvine CA USA au fost generate structurile 3D (6MePQ25 si 6MePQ27), a caror geometrie a fost optimizata prin minimizarea geometriei, in vederea obtinerii conformerului cel mai stabil, de energie minima. Pentru fiecare conformer s-a realizat o analiza conformațională și calcule a unor proprietăți moleculare, importante pentru analiza cantitativă a relațiilor structură-activitate (QSAR).



Structura 3D a compusului 6MePQ25



Structura 3D a compusului 6MePQ27

Au fost calculati descriptorii moleculari și proprietăți moleculare: masa, energia, energia de solvatare, energia orbitalilor de frontieră, aria, volumul, suprafața polară totală (TPSA), ovalitatea, coeficientul de partitie apă-octanol (logP), polarizabilitatea, mometul de dipol (Tabel I)



Tabel Nr. 1. Proprietatile moleculare a compusilor proiectati

Compus	Proprietati calculate												
	Energie [au]	Moment de dipol [debye]	E HOMO [eV]	E LUMO [eV]	HOMO-LUMO GAP	Polarizabilitate [10^{-30} m^3]	PSA[\AA^2]	Ovalitate	Log P	Aria [\AA^2]	Volum [\AA^3]	HBA	HBD
6MePQ25	-1070.26364	9.79	-6.06	-1.57	4.49	65.90	52.328	1.46	1.92	326.50	315.51	5	1
6MePQ27	-1089.71616	10.65	-5.91	-1.48	4.43	67.66	57.077	1.49	2.01	350.02	336.97	5	1

Exemplul 2 Studii de andocare moleculara

Studiile de andocare ale compusilor proiectati s-au realizat cu CLC Drug Discovery Workbench pentru a identifica si vizualiza modul de interacțiune ligand-receptor. Au fost studiate interacțiunile compusilor proiectati cu o serie de tinte, care au fost importate din Protein Data Bank: <http://www.rcsb.org/>:

- *S. aureus* - DNA gyrase, PDB ID: 4P8O;
- *Mycobacterium tuberculosis* DNA gyrase, PDB ID:3M4I;
- Human Topo IIa ATPase/AMP-PNP, PDB ID:1ZXM;
- HIV-1 Reverse Transcriptase (RT), PDB ID:2ZD1.

Studiile de docking au fost efectuate conform protocolului (Pintilie L., Stefanu A., "In silico drug design and molecular docking studies of some quinolone compounds", <http://dx.doi.org/10.5772/intechopen.72995>): a fost importata protein receptor din Protein Data Bank, a fost extras ligandul natural, co-cristalizatul, a fost amplasat locul de legare a ligandului (binding site), a fost redocat co-cristalizatul si validata docarea. Validarea docarii a fost efectuata pentru a ne asigura ca orientarea ligandului si pozitia din locul de legare (binding site) este valida si cat mai aproape de realitate. Au fost stabilitate legaturile de hidrogen dintre co-cristalizat si resturile de aminoacizi din situl de legare, a fost creat grupul de interacțiune format din resturile de aminoacizi. A fost efectuata docarea tuturor liganzilor si au fost stabilite legaturile de hidrogen create de fiecare ligand cu resturile de aminoacid din interiorul locului de legare (binding site). Au fost stabilite grupurile de interacțiune din interiorul locului de legare (binding site) a fiecarui ligand. Au fost calculate proprietatile moleculare ale tuturor liganzilor si a fost efectuata docarea tuturor liganzilor, determinandu-se functia "scor de docking" (scor de andocare) (Figura Nr. 1, Tabel Nr. 2). Studiile de andocare moleculara au fost realizate comparativ cu chinolone cunoscute: ciprofloxacin (pentru 4P8O si 3M41), vosaroxin (pentru 1ZXM) si elvitegravir (pentru 2ZD1).



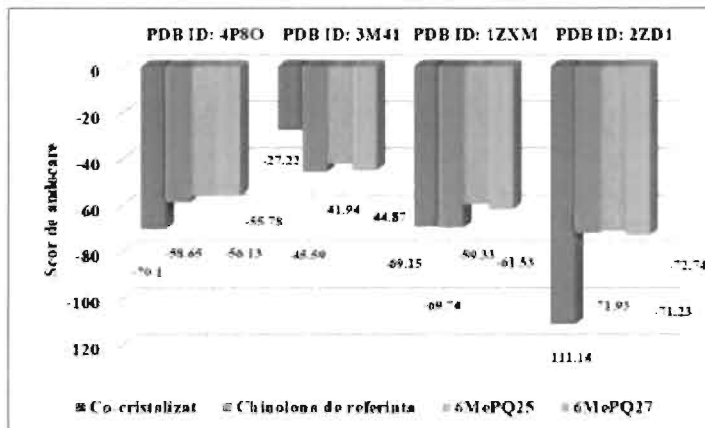


Figura Nr.1. Scorul de andocare comparativ cu chinolona de referinta

Tabel Nr.2. Scorul de andocare moleculara a compusilor proiectati comparativ cu scorul de andocare al co-cristalizatul si al chinolonelor consacrate

Comp.	PDB ID:4P8O		PDB ID: 3M41		PDB ID: 1ZXM		PDB ID:2ZD1	
	Scor	RMSD	Scor	RMSD	Scor	Scor	Scor	RMSD
Co-cristalizat	-70.10	0.02	-27.22	1.43	-69.15	2.05	-111.14	0.08
Ciprofloxacin	-58.65	0.09	-45.59	0.72	-	-	-	-
Vosaroxin	-	-	-	-	-69.74	0.09	-	-
Elvitegravir	-	-	-	-	-	-	-71.93	1.58
6MePQ25	-56.13	0.24	-41.94	0.08	-59.33	0.09	-71.23	0.04
6MePQ27	-55.50	0.22	-44.87	0.05	-61.53	0.09	-72.74	0.06

Au fost calculati o serie de parametri (Tabel Nr.3), cum ar fi si parametrii inclusi in Regula lui Lipinski (Lipinski's rule of five) (Advanced Drug Delivery Reviews.2001;46, p.3-26):

- Numarul de atomi donori de hidrogen trebuie sa fie mai mic decat 5 (numarul total de legaturi azot-hidrogen si oxigen-hidrogen);
- Numarul de atomi acceptori de hidrogen trebuie sa fie mai mic decat 10 (numarul total de atomi de oxigen si azot)
- masa moleculara mai mica decat 500 Da;
- logP (coeficientul de partitie apa-octanol) mai mic decat 5.

Acesti parametri pot da informatii pentru identificarea moleculelor ce au sansa sa devina medicamente. In cazul celor 2 compusi proiectati, nu exista nicio incalcare a Regelui lui Lipinski.

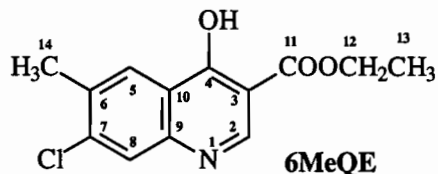


Table Nr. 3. Parametrii calculati cu Softul CLC Drug Discovery Workbench

Ligand	Numar de atomi	Masa [Daltons]	Nr. Legaturi flexibile	Lipinski violations	Donori de hidrogen	Acceptori de hidrogen	LogP
6MePQ25	43	316.35	3	0	1	6	3.30
6MePQ27	47	329.39	3	0	2	6	1.18

Exemplul 3: Sinteza esterului etilic al acidului 6-metil-7-cloro-4-hidroxi chinolin-3-carboxilic (6MeQE)

Solutia formata din 0,5 moli 3-cloro-4-metil-anilina (70,8 g) si 0,5 moli etoximetilenmalonatul de etil (110,32 g) se incalzeste timp de 1,5 ore, sub agitare, la temperatura de 130°C, cu indepartarea concomitenta a alcoolului etilic rezultat in urma reactiei de condensare. [(3-cloro-4-metil-anilino)-metilen]-malonatul de dietil rezultat, fara a fi separat din masa de reactie, se toarna peste dowterm (400 ml). Se incalzeste amestecul de reactie, sub agitare intensa, timp de 45 min., la 250°C. Masa de reactie se lasa sa se raceasca sub agitare la temperatura camerei si se filtreaza precipitatul format, care se spala cu dowterm si acetona si se usuca. Se obtin 101 g ester etilic al acidului 6-metil-7-cloro-4-hidroxi-chinolin-3-carboxilic (p.t.⁰ 312-316°C; randamentul global = 76 %).



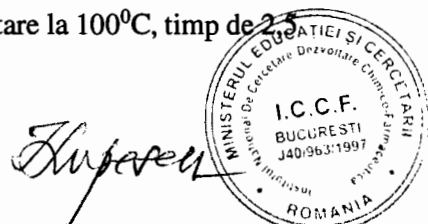
¹H-RMN(dmso-d6, δ ppm, J Hz): 8.56(s, 1HH-2); 8.08(s, 1H, H-5(8)); 7.69(s, 1H, H-8(5)); 4.21(q, 2H, H-12, 7.1); 2.23(s, 3H, H-14); 1.28(t, 3H, H-13, 6.1).

FT-IR(solid in ATR, v cm⁻¹): 3145m; 3114m; 3089s; 2985m; 1691vs; 1609vs; 1551m; 1466m; 1443m; 1377m; 1355m; 1286s; 1243w; 1195s; 1167s; 1109m; 1031m; 990m; 906w; 881m; 854w; 806m; 761w; 727w; 654w; 547w.

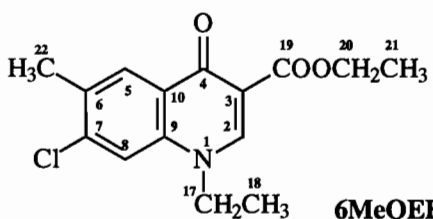
Amestec de 6-Me-7-Cl cu 5-Cl-6-Me în raport ~ 7:3. Se scrie compusul majoritar 6-Me-7-Cl.

Exemplul 4: Sinteza esterului etilic al acidului 1-etil-6-metil-7-cloro-1,4-dihidro-4-oxo-chinolin-3-carboxilic (6MeQEE)

Un amestec format din N,N-dimetilformamida – 110 ml, 0,025 moli ester etilic al acidului 6-metil-7-cloro-4-hidroxi-chinolin-3-carboxilic (6,64 g), si 0,1125 moli carbonat de potasiu (15,86 g) se incalzeste sub agitare timp de 1 ora la 100°C, dupa care se raceste la 80°C. Se adauga apoi 0,1125 moli dietil sulfat (17,7 g) si se incalzeste masa de reactie sub agitare la 100°C, timp de 20



ore. La sfarsitul regimului, masa de reactie se raceste sub agitare la 20°C. Solutia de dimetilformamida care contine esterul etilic al acidului 1-etil-6-metil-7-cloro-1,4-dihidro-4oxo-chinolin-3-carboxilic se toarna, sub agitare, peste 300 ml de apa si se raceste timp de 8 ore la 0-5°C. Produsul brut obtinut dupa filtrare si uscare se purifica prin recristalizare din recristalizare alcool isopropilic-apa. Se obtin 5,14 g produs pur (p.t. 182,8-184,8°C; randament global reactie + purificare 70%).



¹H-NMR(CDCl₃, δ ppm, J Hz): 8.42(s, 1H, H-2); 8.33(q, 1H, H-5, ⁴J(H-22 – H-5)=1.0 Hz); 7.42(s, 1H, H-8); 4.39(q, 2H, H-17, 7.2); 4.21(q, 2H, H-20, 7.3); 2.47(s, 3H, H-22); 1.54(t, 3H, H-21, 7.3); 1.41(t, 3H, H-18, 7.2).

A fost pus în evidență unul din cazurile rare când se vede cuplajul peste 4 legături între protonii H-22 din grupa metil și protonul H-5 din ciclul chinolonic. Valoarea determinată de 1.0 Hz este în acord cu datele de literatură.

¹³C-NMR(CDCl₃, δ ppm): 173.67(C-4); 165.63(C-19); 148.51(C-2); 139.69(Cq); 137.50(Cq); 133.57(Cq); 129.64(C-5); 127.70(Cq); 115.94(C-8); 111.25(C-3); 60.95(C-20); 48.94(C-17); 19.76(C-22); 14.50(C-18-21).

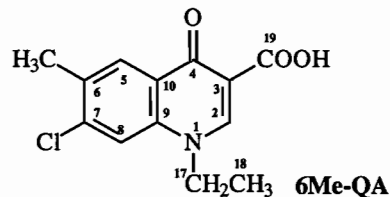
FT-IR(solid in ATR, ν cm⁻¹): 3026w; 2980w; 2935w; 2865w; 1682s; 1632s; 1593vs; 1536m; 1484s; 1457m; 1380m; 1361m; 1329m; 1307m; 1254m; 1216s; 1179s; 1109m; 1081m; 1051w; 1021m; 990m; 931w; 860w; 843m; 804m; 763w; 732w; 683w; 599w; 538w; 490w; 437w.

Exemplul 5: Sintiza acidului 1-etil-6-metil-7-cloro-1,4-dihidro-4-oxo-chinolin-3-carboxilic (6MeQA)

Se incalzeste la reflux, sub agitare timp de 2 ore amestecul de reactie format din 0,075 moli ester etilic al acidului 1-etil-6-metil-7-cloro-1,4-dihidro-4-oxo-chinolin-3-carboxilic (22 g) si o solutie apa (500 ml)-etanol (200 ml) de 0,1875 moli hidroxid de sodiu (07,6 g). Se adauga carbune activ, se agita inca 30 de minute la aceeasi temperatura, se filtreaza, se mai adauga 250 ml apa si se precipita acidul 1-etil-6-metil-7-cloro-1,4-dihidro-4oxo-chinolin-3-carboxilic prin picurare de acid acetic glacial, pana la pH 4,5. Se filtreaza produsul brut, se spala cu apa pana la pH neutru, si



se usuca. Dupa recristalizarea din dimetilformamida se obtin 13,55 g acid 1-etil-6-metil-7-cloro-1,4-dihidro-4-oxo-chinolin-3-carboxilic(p.t. 272,2-273,6°C, randament reactie +purificare 68%).



¹H-NMR(dmso-d6, δ ppm, J Hz): 8.98(s, 1H, H-2); 8.23(s, 1H, H-8); 8.11(s, 1H, H-5); 4.55(q, 2H, H-17, 7.1); 2.46(s, 3H, H-19); 1.38(t, 3H, H-18, 7.1).

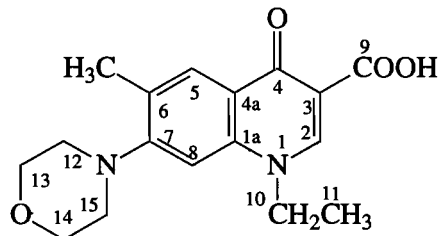
¹³C-NMR(dmso-d6, δ ppm): 177.10(C-19); 165.91(C-4); 149.38(C-2); 140.35(Cq); 138.13(Cq); 134.45(Cq); 127.58(CH); 124.39(Cq); 118.12(Cq); 107.97(Cq); 49.08(C-17); 19.45(C-19); 14.62(C-18).

FT-IR(solid in ATR, ν cm⁻¹): 3047w; 2986w; 1699s; 1603vs; 1564m; 1515m; 1457vs; 1379s; 1331m; 1296m; 1264m; 1224s; 1120m; 1094w; 1019m; 994m; 953s; 902m; 869m; 806m; 776w; 736w; 686w; 607w; 538w.

Exemplul 6: Sintiza acidului 1-etil-6-metil-7-morfolinil-1,4-dihidro-4-oxo-chinolin-3-carboxilic (6MePQ25)

Un amestec format din acid 1-etil-6-metil-7-cloro-1,4-dihidro-4-oxo-chinolin-3-carboxilic (6MeQA) (2,65 g, 0,01 moli), morfolina (8,71 g, 0,10 moli) si 40 ml dimetilsulfoxid se incalzeste sub agitare la temperatura de 120-130°C, timp de 12 ore, dupa care se adauga a doua portie de morfolina (4,35 g, 0,05 mol). Se continua agitarea amestecului de reactie la aceeasi temperatura inca 7 ore, dupa care se adauga ultima portie de morfolina (4,35 g, 0,05 mol) si se continua regimul de reactie inca 10 ore. La sfarsitul regimului, masa de reactie se raceste sub agitare si apoi se distila la vid. Reziduul obtinut se dizolva intr-o solutie de hidroxid de sodiu 2N (12,5 ml) si apa (12,5 ml); se adauga carbune activ si se agita timp de 30 min. la 60°C. Solutia obtinuta dupa filtrare se aduce la pH 7 prin tratare cu o solutie de acid acetic 10 %. Dupa filtrare, produsul brut obtinut se purifica prin dubla recristalizare din N,N-dimetilformamida. Se obtin 1,58 g acid 1-etil-6-metil-7-morfolinil-1,4-dihidro-4-oxo-chinolin-3-carboxilic (6MePQ25) (p.t. 263,2-266,5°C, randament reactie +purificare 50%).



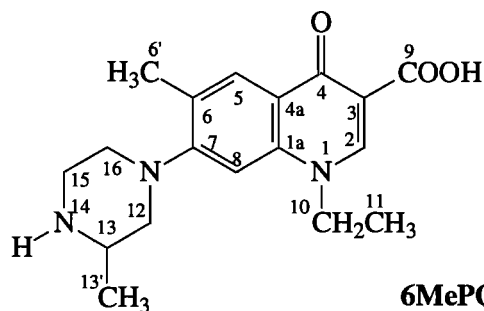
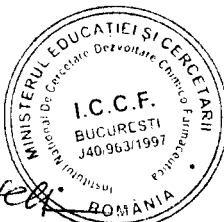
**6MePQ25**

¹H-NMR(dmso-d6, δ ppm, J Hz, T=298K): 15.54(s, 1H, H-9); 8.90(s, 1H, H-2); 8.07(s, 1H, H-5); 7.18(s, 1H, H-8); 4.56(q, 2H, H-17, 7.1); 3.80(m, 4H, H-13, H-15, syst. A₂B₂); 3.07((m, 4H, H-12, H-14, syst. A₂B₂); 2.39(s, 3H, CH₃-6); 1.42(t, 3H, H-18, 7.1).

¹³C-NMR(dmso-d6, δ ppm, T=298K): 176.63(C-4); 166.32(C-9); 156.73(C-1a); 148.10(C-2); 138.65(C-7); 131.02(C-6); 127.71(C-5); 120.10(C-3); 107.21(C-4a); 105.71(C-8); 66.24(C-13, C-15); 51.14(C-12, C-14); 48.69(C-10); 18.12(6-CH₃); 14.34(C-11).

Exemplul 7: Sinteza acidului 1-etil-6-metil-7-(3-metil-piperazinil)-1,4-dihidro-4-oxo-chinolin-3-carboxilic (6MePQ27)

Un amestec format din acid 1-etil-6-metil-7-cloro-1,4-dihidro-4-oxo-chinolin-3-carboxilic (2,65 g, 0,01 moli), 2-metil-piperazina (10,16 g; 0.1 moli) si DMSO (40 mL) se incalzeste sub agitare energica timp de 9 ore la 110-120°C, dupa care se adauga a doua portie de 2-metil-piperazina (5 g; 0,05 moli) si se continua agitarea la aceeasi temperatura timp de inca 31 ore. La sfarsitul regimului masa de reactie se raceste sub agitare si apoi se distila la vid. Rreziduul obtinut se dizolva intr-o solutie de acid acetic 10 % iar dupa filtrare, solutia obtinuta se aduce la pH 7,2 cu o solutie de hidroxid de sodiu 2N. Precipitatul format se filtreaza, se spala cu apa si dupa uscare se purifica prin recristalizare din metanol. Se obtin 1,71 g produs pur (p.t. = 215,1-218,9°C; randament reactie + purificare 52 %).

**6MePQ27**

După cinci

¹H-NMR(dmso-d₆, δ ppm, J Hz, T=313K): 8.92(s, 1H, H-2); 8.09(d, 1H, H-5); 7.17(s, 1H, H-8); 4.57(q, 2H, H-10, 7.3); 3.26(m, 2H, H-12A, H-16A, syst AB, *J*(H^A-H^B)= 11.5Hz); 3.38÷2.56(m, 4H, H-12B, H-15, H-16B); 2.57(m, 1H, H-12B, *J*(H^A-H^B)= 11.5Hz); 2.39(s, 3H, H-6'); 1.41(t, 3H, H-11, 7.3); 1.13(d, 3H, H-13', 7.1).

¹³C-NMR(dmso-d₆, δ ppm): 176.87(d, C-4); 166.39(C-9); 155.85(C-2); 148.17(C-7); 138.74(C-1a); 131.18(C-4a); 127.74(C-8); 120.09(C-6); 107.22(C-3); 105.80(C-5); 56.89(C-12); 50.49(C-16); 50.05(C-15); 48.73(C-10); 44.52(C-13); 18.16(C-6'); 14.39(C-11).

FT-IR(solid in ATR, ν cm⁻¹): 3400m; 2981w; 2835w; 2745w; 1700m; 1613vs; 1578s; 1519m; 1387s; 1334m; 1303m; 1253m; 1203m; 1164m; 1135m; 1090m; 1041m; 1009w; 906w; 805w; 708w; 646w.

S-a determinat activitatea antibacteriană *in vitro* pentru compușii prezentați la exemplele 6 și 7. Testarea activității antibacteriene s-a făcut pe o serie de specii bacteriene aflate în spectrul de activitate al chinolonelor utilizate actualmente în practica clinică. S-a determinat CMI în bulion Mueller-Hinton, utilizându-se metoda microdiluțiilor. Tulpinile bacteriene față de care s-a făcut testarea sunt *E. Coli* ATCC25922, *S.aureus* ATCC29223 și *P.aeruginosa* ATCC 27853 (Tabel Nr.4).

Tabel nr. 4. Concentratia minima inhibitorie (μg/ml)

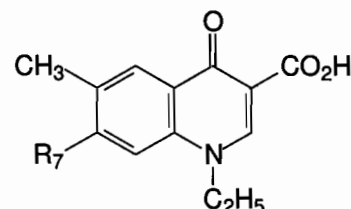
Denumire compus	Concentratie minima inhibitorie (μg/ml)		
	<i>Escherichia coli</i> ATCC 8739	<i>Staphylococcus aureus</i> ATCC 6538	<i>Escherichia coli</i> ATCC 8739
6MePQ25	64	16	128
6MePQ27	32	32	128

S-a observat că, cei 2 compuși prezintă o slabă activitate antimicrobiană conform cu rezultatatele studiului de andocare moleculară. Scorul de andocare pentru cei 2 compuși este mai mic decât al chinolonei de referință: ciprofloxacina (PDB ID: 4P8O). Scorul de andoacre scade în ordinea: ciprofloxacina:-58,65 > 6MePQ25:-56,13 > 6MePQ27:-55,50. S-a observat că, cei 2 compuși proiectați și sintetizați prezintă o potențială activitate față de ADN-Gyraza și față de Topoisomerază IV. S-a observat de asemenea că cei 2 compuși prezintă o potențială activitate antivirala. În cazul tintei receptor 2ZD1 scorul de andocare a celor 2 compuși proiectați și sintetizați și ai chinolonei de referință scade în ordinea : 6MePQ27:-72,74 > Elvitegravir:-71,93 > 6MePQ25:-71,23.



REVENDICARI

1. Derivati 6-metil-chinolonici, cu formula generala I



I

caracterizat prin aceea ca R_7 este morfolinil sau 3-metil-piperazinil.

2. Derivat 6-metil-chinolonic, conform revendicarii 1, caracterizat prin aceea ca, este acidul 1-etil-6-metil-7-morfolinil-1,4-dihidro-4-oxo-chinolin-3-carboxilic.
3. Derivat 6-metil-chinolonic, conform revendicarii 1, caracterizat prin aceea ca, este acidul 1-etil-6-metil-7-(3-metil-piperazinil)-1,4-dihidro-4-oxo-chinolin-3-carboxilic.

